

**ОБ ОБЩЕМ КРИТЕРИИ
УСТОЙЧИВОСТИ ЛАМИНАРНОГО ТЕЧЕНИЯ В ТРУБАХ**

P. С. Кузнецкий, М. К. Лихт

(Харьков)

Возникновение турбулентности связано с возмущениями конечной интенсивности [1]. Можно указать отдельные попытки теоретических построений в этой области, например, [2]. Экспериментально установлена неоднородность ламинарного течения жидкости по сечению трубы в отношении степени его локальной устойчивости¹ [3, 4, 1]. Этот факт служит исходным для объяснения ряда особенностей перехода к турбулентному течению и в их числе характерной особенности зависимости коэффициента сопротивления шероховатых труб от числа Рейнольдса при промежуточном режиме [5].

Вводимая в качестве меры устойчивости величина (1.1) и критерий q_* позволяют получить при этом количественно удовлетворительные результаты.

1. Будем характеризовать степень локальной устойчивости стационарного ламинарного течения жидкости в цилиндрической (в широком смысле) трубе симплексом

$$\frac{\rho v |\nabla_{xy} v|}{|dp/dz|} - \frac{1}{2} q(x, y) \quad (1.1)$$

аналогичным вводимому для плоскопараллельных течений местному числу Рейнольдса [2], пропорциональному поперечному градиенту скорости и обратно пропорциональному вязкости. Здесь v , p , ρ — скорость, давление и плотность жидкости; x , y — декартовы координаты в поперечном сечении F трубы; z — координата вдоль ее оси. Симплекс (1.1) представляет собой отношение изменений энергии элемента жидкости при малых смещениях в поперечном и продольном направлениях соответственно.

Независимо от степени устойчивости ламинарного течения в целом в F всегда существует область произвольной малости q . Поэтому наступления неустойчивости следует ожидать при достаточно больших значениях q . В соответствии с этим предположим существование такого числа q_* , что $q \leq q_*$ во всем F есть условие устойчивости течения, а наличие в F областей с $q > q_*$ — условие неустойчивости, т. е. возможности турбулентного режима.

Приведем (1.1) к критериальному виду. Для пуазейлева течения

$$\Delta_{xy} v = \frac{1}{\mu} \frac{dp}{dz} = \text{const} < 0, \quad v|_{\Gamma} = 0 \quad (1.2)$$

где $\mu = \rho v$ — динамическая вязкость и Γ — контур сечения F . Введя безразмерные скорость и координаты (s — гидравлический радиус трубы)

$$u = \frac{\mu}{|dp/dz| s^2} v, \quad \xi = \frac{x}{s}, \quad \eta = \frac{y}{s} \quad (1.3)$$

¹ Под локальной устойчивостью (неустойчивостью) будем понимать отрицательную (положительную) реакцию течения в данной малой области на вводимые возмущения.

(аналогично для радиус-вектора $\xi = r / s$ в полярной системе координат и для любой линейной координаты в произвольной системе), будем иметь

$$\Delta_{\xi, \eta} u = -i, \quad u|_{\Gamma_{\xi, \eta}} = 0 \quad (1.4)$$

Выразив q через обезразмеренные переменные и $R = 2s \langle v \rangle / v$, где угловые скобки означают усреднение по F , преобразуем (1.1) к виду

$$q = R \frac{u |\nabla_{\xi, \eta} u|}{\langle u \rangle} \quad (1.5)$$

Симплекс q пропорционален числу Рейнольдса и равен нулю на контуре Γ и в точках (или на линиях) экстремумов и стационарности скорости. Следовательно, точка (линия) максимальной неустойчивости, в которой достигается $\sup \{u | \nabla_{\xi, \eta} u|\}$, всегда находится вне их окрестности.

Потеря ламинарным течением устойчивости и возможность его турбулизации наступают при $\sup \{q\} = q_*$, откуда следует критическое число Рейнольдса

$$R_* = q_* f, \quad f \equiv \frac{\langle u \rangle}{\sup_{F_{\xi, \eta}} \{u | \nabla_{\xi, \eta} u|\}} \quad (1.6)$$

равное произведению q_* на определенный функционал $f\{\Gamma\}$ от формы сечения (т. е. от F или Γ , с точностью до подобия).

В реальных условиях турбулизация течения наступает при числах Рейнольдса, больших R_* (затянутый ламинарный режим), поскольку в жидкости имеются не все виды возмущений.

2. Оценим влияние формы сечения F на R_* и определим значение q_* , сопоставив соответствующие отношения R_* и f для ряда сечений:

а) для трубы кругового сечения ($0 \leq \zeta \leq 1$) имеем

$$u = \frac{1}{4} (1 - \zeta^2), \quad q = R \zeta (1 - \zeta^2), \quad f^0 = \frac{3}{2} \sqrt{3} \quad (2.1)$$

Экспериментально получено $R_*^0 \approx 2100$ [6, 7].

б) для плоского канала ($|\eta| \leq \frac{1}{2}$)

$$u = \frac{1}{8} (1 - 4\eta^2), \quad q = \frac{3}{2} R \eta (1 - 4\eta^2), \quad f = 2 \sqrt{3} \quad (2.2)$$

Для труб прямоугольного сечения с наибольшим отношением сторон (104 : 1 и 165 : 1) экспериментально получено $R_* \approx 2800$ [6-8].

Для труб и каналов с сечением более сложной формы, чем круг и бесконечная полоса, соответствующий расчет приходится выполнять численными методами.

в) для трубы квадратного сечения ($|\xi| \leq 1, |\eta| \leq 1$) был произведен на ЭВМ расчет f при помощи метода сеток с шагом сетки, равным $1/64$ стороны квадрата. Было получено значение $f \approx 2.103$.

Экспериментально получено $R_* \approx 2000$ [9, 6].

г) для трубы кольцевого сечения

$$k \leq \kappa \leq 1 \quad (k = r_1 / r_2, \kappa = (1 - k)\zeta = r / r_2,$$

где r_1, r_2, r — радиус-векторы стенок и текущий) [5-7]

$$u = \frac{1 - \kappa^2 + \kappa_0^2 \ln \kappa^2}{4(1 - k)^2}, \quad \langle u \rangle = \frac{1 + k^2 - 2\kappa_0^2}{8(1 - k)^2}, \quad u_{\max} = \frac{1 - \kappa_0^2 \ln e / \kappa_0^2}{4(1 - k)^2} \quad (2.3)$$

Значение $\kappa_0^2 = -(1 - k^2) / \ln k^2$ соответствует максимуму u . Симплекс (1.1) равен

$$q = R \frac{(1 - \kappa^2 + \kappa_0^2 \ln \kappa^2) |\kappa_0^2 - \kappa^2|}{(1 - k)(1 + k^2 - 2\kappa_0^2) \kappa} \quad (2.4)$$

Отсюда (фиг. 1)

$$\begin{aligned} f &= (1 - k)(1 + k^2 - 2\kappa_0^2) \frac{\kappa}{(1 - \kappa^2 + \kappa_0^2 \ln \kappa^2)(\kappa_0^2 - \kappa^2)} = \\ &= \frac{(1 - k)(1 + k^2 - 2\kappa_0^2)}{2} \frac{\kappa_0^2 + \kappa^2}{(\kappa_0^2 - \kappa^2)^3} \end{aligned} \quad (2.5)$$

Здесь κ^2 есть меньший из двух корней κ_i^2 ($k < \kappa_1 < \kappa_0 < \kappa_2 < 1$) (фиг. 2) уравнения

$$2(\kappa_0^2 - \kappa^2)^2 = (\kappa_0^2 + \kappa^2)(1 - \kappa^2 + \kappa_0^2 \ln \kappa^2) \quad (2.6)$$

Из соответствующих экспериментов [10-12] воспользуемся, например, тремя, в которых турбулизация была обнаружена при $R \approx 2000$, 2700 и 2640 соответственно для $k \approx 0.186$ [12], 0.514 и 0.639 [11].

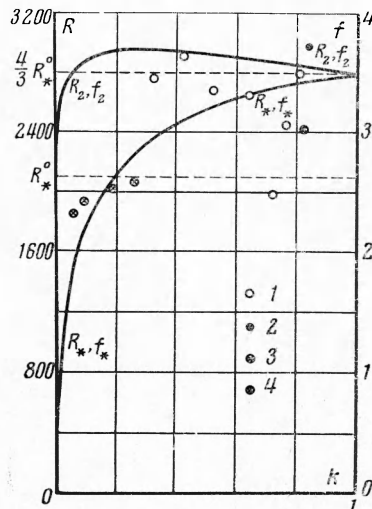
	Труба кругового сечения	Плоский канал	Труба квадратного сечения	Труба кольцевого сечения		
				$k = 0; 186$	$k = 0.514$	$k = 0.631$
R_* / R_*^0 , эксперимент	1	$\frac{4}{3}$	0.95	0.952	1.28	1.26
f / f^0 , теория	1	$\frac{12}{4/3}$	0.81	1.00	1.23	1.26

Сопоставление вычисленных значений f / f^0 с экспериментальными значениями R_* / R_*^0 приведено в таблице. Они практически (т. е. в пределах точности экспериментов и связанных с ними вспомогательных расчетов) совпадают. Если учесть также отмеченный факт затягивания ламинарного режима, естественно сделать заключение об универсальности значения q_* для труб произвольных сечений.

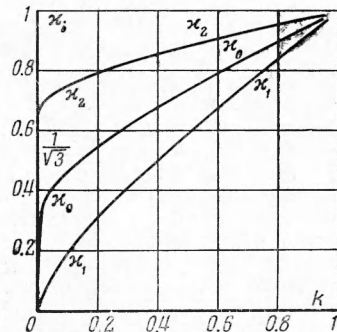
Определим q_* , пользуясь наиболее достоверными результатами многочисленных экспериментов для труб кругового сечения [6, 7]

$$q_* = R_*^0 / f^0 \approx 2100 : \frac{3}{2} \sqrt{3} \approx 808.3 \quad (2.7)$$

Точность полученного значения q_* определяется точностью экспериментального измерения R_*^0 .



Фиг. 1



Фиг. 2

Тем самым получаем $R_* = q_* f$ равным 2800 для плоского канала (в полном согласии с результатом эксперимента) и около 1700 для трубы с квадратным сечением (что на 15% меньше экспериментально обнаруженного).

3. Приведем результаты расчетного определения точек (линий) максимальной неустойчивости для труб различных сечений и сопоставления с имеющимися данными.

а) В трубе кругового сечения максимум q , т. е. окружность максимальной неустойчивости, согласно (2.1) характеризуется $\zeta = 1 / \sqrt{3} \approx 0.57735$.

Эксперименты, проведенные при значениях R , близких к \bar{R}_*^0 , обнаружили наиболее слабое затухание вносимых возмущений в области $0.4 < \zeta < 0.6$ [3] и наибольшую устойчивость возникающих пульсаций при $\zeta \approx 0.6$ [4] и, таким образом, подтверждают теоретический результат.

Можно ожидать, что область максимальной неустойчивости ламинарного течения отличается при турбулентном режиме максимальной интенсивностью турбулентности и тем самым максимальной турбулентной вязкостью. Действительно, максимум турбулентной вязкости при $\zeta \approx 0.6$ был установлен экспериментально [14].

б) В плоском канале плоскости максимальной неустойчивости согласно (2.2) характеризуются $\eta = \pm 1/2 \sqrt{3}$.

Таким образом, в плоском канале и трубе кругового сечения максимум q достигается при совпадающих значениях относительной ординаты $2|\eta|$ и радиус-вектора ζ . Этот вывод следует также из независимых теоретических соображений [15].

в) В трубе квадратного сечения точки максимальной неустойчивости лежат на осиях симметрии квадрата, параллельных его сторонам

$$\xi = 0, \quad \eta \approx \pm 0.625, \quad \xi \approx \pm 0.625, \quad \eta = 0$$

Расположение этих точек легко осмыслить физически при сопоставлении квадрата с вписанным в него кругом (п. а).

г) В трубе кольцевого сечения достигаются два максимума q , больший (основной) из которых характеризуется меньшим κ_1 , а меньший — большим корнем κ_2 уравнения (2.6) (фиг. 2).

Поскольку вероятность турбулизации течения резко увеличивается при появлении второй из зон неустойчивости $\kappa \sim \kappa_1$, $\kappa \sim \kappa_2$, в реальных условиях следует ожидать наступления турбулизации при числах Рейнольдса, удовлетворяющих неравенству $R_* = R_1 < R \lesssim R_2$, где R_i ($i = R_i / q_*$) соответствует κ_i согласно (2.4) при $q = q_*$ (фиг. 1). Вероятность близости R к R_2 возрастает при приближении k к единице (т. е. с уменьшением асимметрии потока).

В предельном случае малой кривизны стенок $1 - k \equiv \alpha \ll 1$ приближаемся к результатам для плоского канала

$$\begin{aligned} \kappa_0 &\approx 1 - 1/2 \alpha - 1/24 \alpha^2, \quad \kappa_{1,2} \approx 1 - 1/2(1 \pm 1/\sqrt{3})\alpha + 1/4(11/27 \pm 1/\sqrt{3})\alpha^2 \\ R_{1,2} &\approx 2q_* (\sqrt{3} \mp 1/6 \alpha) \end{aligned} \quad (3.1)$$

В противоположном предельном случае $k \rightarrow 0$ (круглая труба с тонкой коаксиальной вставкой) R_* неограниченного уменьшается, а окружность наибольшей неустойчивости быстро стягивается к центру

$$\kappa_0 \approx (2 \ln k)^{-1} \rightarrow 0, \quad \kappa_1 \approx ek \rightarrow 0, \quad \kappa_1 / \kappa_0 \rightarrow 0, \quad R_2 \approx 2eq_* k \ln^2 k \rightarrow 0 \quad (3.2)$$

Для второго локального максимума неустойчивости получаем в пределе то же, что и для кругового сечения

$$\begin{aligned} \kappa_2 &\approx \frac{1}{\sqrt{3}} \left(1 - \frac{6 - \ln 3}{4 \ln k} \right) \rightarrow \frac{1}{\sqrt{3}} \\ R_2 &\approx R_*^0 \left(1 - \frac{2 - \ln 3}{4 \ln k} - \frac{12 + 7 \ln 3 - 2 \ln^2 3}{8 \ln^2 k} \right) \rightarrow R_*^0 \end{aligned} \quad (3.3)$$

Однако наступление турбулизации при $R \sim R_2 \approx R_*^0$ уже маловероятно.

При увеличении k величины κ_0 , κ_1 и R_* ($0 < R_* < 4/3 R_*^0$) монотонно возрастают, κ_2 убывает; R_2 ($R_*^0 < R_2 \lesssim 2962$) при $k \approx 0.30$ имеет слабый максимум (фиг. 1,2). В частности, $R_* = R_*^0$ при $k \approx 0.18531$ и $R_2 \approx 4/3 R_*^0$ при $k \approx 0.03323$.

На фиг. 1 представлены также экспериментально обнаруженные значения R , при которых наступала турбулизация. Точки 1,2,3,4, соответствуют данным работ [10-13]. Согласие (2.4), (2.5) с результатами экспериментов можно признать вполне удовлетворительным, если учесть затягивание ламинарного режима и возрастающее при сужении кольцевой щели влияние конструктивных погрешностей ее изготовления на уменьшение действительного R_* .

4. Рассмотрим вопрос о влиянии шероховатости стенки на турбулизацию течения и коэффициент λ сопротивления трубы.

Естественно ожидать, что начиная со значения R , при котором распределенная шероховатость $\Delta = s\delta$ проникает в область неустойчивости $q > q_*$

$$R' = q_* \sup_{\delta} \frac{\langle u \rangle}{\{u | \nabla_{\xi, \eta} u\}} \quad (4.1)$$

шероховатость существенно изменяет характер зависимости $\lambda(R)$ в сторону возрастания, или более интенсивного возрастания. Здесь индекс δ соответствует геометрическому месту точек, отстоящих от точек контура $\Gamma_{\xi\eta}$ на расстоянии δ (контуру Γ сечения F соответствует расстояние Δ) по внутренней (обезразмеренной аналогично координатам) нормали n ; индекс 0 относится тем самым к контуру $\Gamma_{\xi\eta}$.

Поскольку относительная шероховатость δ обычно весьма мала, (4.1) можно представить в виде

$$\begin{aligned} R' &\approx \frac{q_*}{\delta} \langle u \rangle \sup^{-1} \left\{ \left[\left(\frac{\partial u}{\partial n} \right)_0 + \delta \left(\frac{\partial^2 u}{\partial n^2} \right)_0 \right] \left[\left(\frac{\partial u}{\partial n} \right)_0 + \frac{\delta}{2} \left(\frac{\partial^2 u}{\partial n^2} \right)_0 \right] \right\} \approx \\ &\approx \frac{q_*}{\delta} \langle u \rangle \sup^{-1} \left\{ \left(\frac{\partial u}{\partial n} \right)_0^2 \right\} \end{aligned} \quad (4.2)$$

или

$$R_\Delta \equiv \frac{\langle v \rangle \Delta}{v} = \frac{R' \delta}{2} \approx \frac{q_*}{2} \langle u \rangle \sup^{-1} \left\{ \left(\frac{\partial u}{\partial n} \right)_0^2 \right\} \quad (4.3)$$

В частности, для трубы кругового сечения

$$R' \approx \frac{q_*}{\delta (1-\delta)(2-\delta)} \approx \frac{q_*}{2\delta} = \frac{R_*^0}{3\delta \sqrt{3}} \approx \frac{404.2}{\delta}, \quad R_\Delta \approx \frac{q_*}{4} \approx 202.1 \quad (4.4)$$

На фиг. 3 приведены экспериментальные кривые $\lambda(R)$ Никурадзе для шероховатых труб кругового сечения [5]. На кривых выделены точки с $R = R'$. В них действительно начинается возрастание λ , продолжающееся далее вплоть до области автомодельности.

Отсюда следует вывод о том, что в шероховатой трубе при $R_* < R < R'$ турбулентные пульсации имеют некоторую тенденцию к затуханию, которое становится невозможным, как только в область $q > q_*$ начинают проникать постоянные источники возмущений.

Непосредственное экспериментальное определение «допускаемой» высоты распределенной шероховатости было произведено для трубы кольцевого сечения [16,1]. Было по-

лучено в среднем $R_\Delta \approx 120$, а для реальных отрицательных градиентов давления — $R_\Delta \approx 130 \div 140$.

Для плоского канала, гидравлически близкого к трубе с сечением в виде узкого кольца, из (4.2), (4.3) следует:

$$R' \approx \frac{q_*}{3\delta} \approx \frac{269.4}{\delta}, \quad R_\Delta \approx \frac{q_*}{6} \approx 134.7 \quad (4.5)$$

т. е. совпадение с экспериментальным результатом [16] оказывается хорошим.

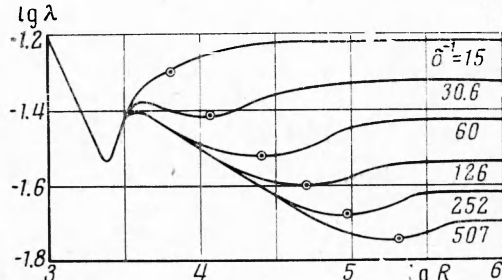
5. Отметим некоторую аналогию признака $q \ll q_*$ устойчивости ламинарного течения в трубах с признаком Рэлея устойчивости течения Кузета между вращающимися цилиндрами [17], который также будет результатом локального энергетического анализа течения. Согласно признаку Рэлея последнее устойчиво, если квадрат циркуляции скорости нигде не убывает с увеличением радиус-вектора

$$\frac{d}{dr} (vr)^2 \geqslant 0 \quad (5.1)$$

и обратно. Условию (5.1) можно придать следующую форму:

$$\frac{\rho v (-dv/dr)}{\rho v^2 / r} \leqslant 1 \quad (5.2)$$

Знаменатель дроби в (5.2) есть величина градиента давления, числитель с точностью до знака — плотность кинетической энергии жидкости.



Фиг. 3

